New Cap Climper

By Kenzo Hasuo

The climper actually in use is so imperfect that sometimes permits water infiltration at the joining point and accordingly results in half-burning of the fuse, incomplete detonation or drop-off of the cap from the fuse.

To prevent these faults, new cap climper was devised to operate uniformly around the fuse with successful result.

(NIPPON KAYAKU CO., LTD.)

高周波感応による電気雷管の発火

第一報 短波による高周波誘起電流

(昭和27年3月15日受理)

岡 崎 一 正

(東京大学工学部火薬学教室)

I 緒 言

最近電気雷管の爆発事故の原因中に高周波エネルギーが加えられるようになつた。これは電気雷管には脚線, 母線など或る長さの導線が附随するので,これが高周波を受けて生ずる高周波電流によるものである。 低に実際に起つた二・三の事故例並びに米国に於ける民間放発,素人放設,警察放發,無線電話,レーダーなどの各種発振機の近傍で行われた電気雷管発火試験の結果が発表せられ,危険限界や注意が項が示されている。併し発振機の近傍に於て誘起される高周波電流と誘種の條件,例えば発振機の出力,周波数,脚線、母線の形状及び発振機からの距離などとの間の関係を詳細に設明したものが見当らないので,この点に関し小型の高周波発振機置を組立てて7,000 KC 程度の短波について若干の実験的検討を試みた。

Ⅱ 実験方法

高周披発振裝置として図1の如きハートレー回路を 組立てた。受技体としては図2(1)に示した如く、二 本の経験ガラス棒間に直線状に張つた脚線に電機の位 置に高周波電流計と、母線の容量に相当させるために 小容量(150 PF)の蓄電器とを附した回路を準備した。 両ガラス棒間の距離 1を 37 cm に固定し、実験に際 しては常に脚線回路面を発掘コイル面に平行に置き、 而も脚線回路面中心をコイル中心軸の延長上にあらし めるようにし、この関係を保たせ乍ら受波体を水平に 移動させてコイル面中心と睥線回路面中心との距離 D を、又脚線の両線をガラス棒に沿つて上下に滑らせて 脚線の開き a を変化させるようにした。

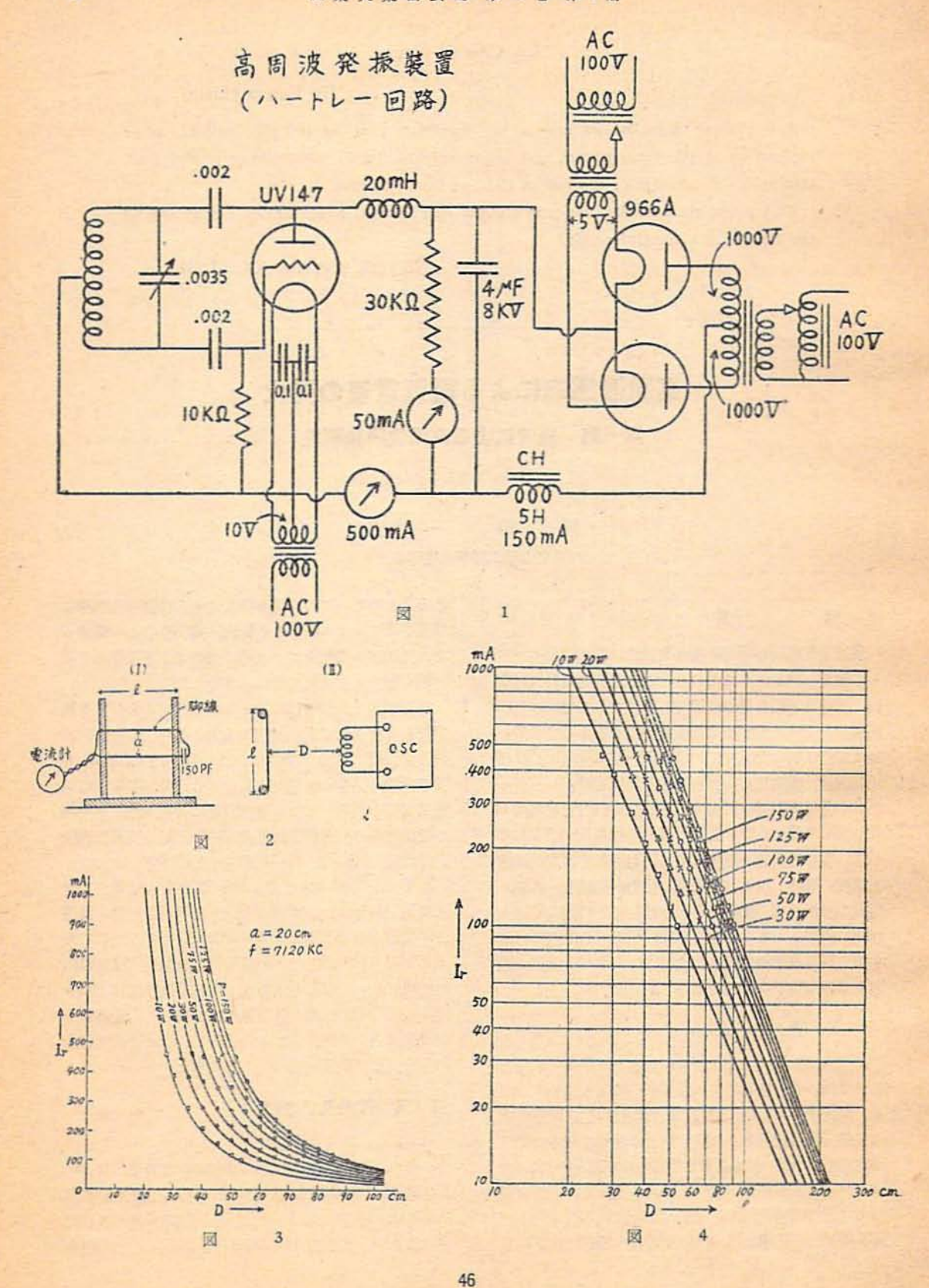
かく準備した受波体にハートレー回路から発する高 周波を受けさせて発振装置の入力 P (出力は効率を 50 %とすれば P/2), 発振コイルから脚線までの距離 D 及び脚線の開き a を種々に変化させ, 発振装置中の可 変蓄電器を調整してこの脚線回路に発振周波数を同調 させた場合の高周波誘起電流 1, を上記の高周波電流 計で測定し、1, と P, D 及び a との関係を求めた。

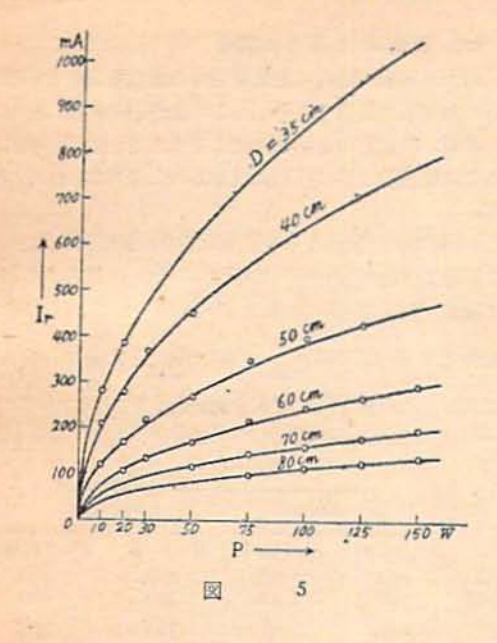
a を 0 から 40 cm まで、Pを 10 から 150 Wまで変えて測定を行つたが実験に用いた高周波電流計の精度よく測定出来る範囲は 100~500 mA であつたので夫々の a 及び P に応じこの程度の電流を生ずる範囲内の距離 D にて I_r を求めた。同調周波数は 7,000~7,640 KC であつた。併し得られた悉くの測定値並びに関係図表を列記することは類わしいので代表的のものを抽出して結果を述べることにする。

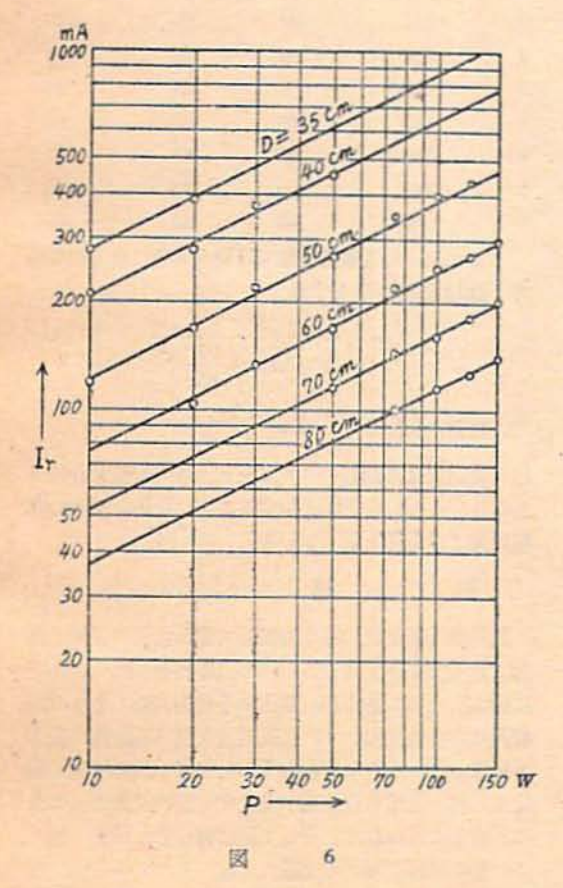
Ⅲ 実験結果及び考察

i) D と I, との関係

a=20 cm, 同調周波数 f=7,120 KC に於て、10,20,30,50,75,100,125 及び 150 W の各入力に対して行つた実験の結果から D と I_r との関係を図 3 及び図 4 に示した。但し図 4 は $\log D$ と $\log I_r$ との関係を







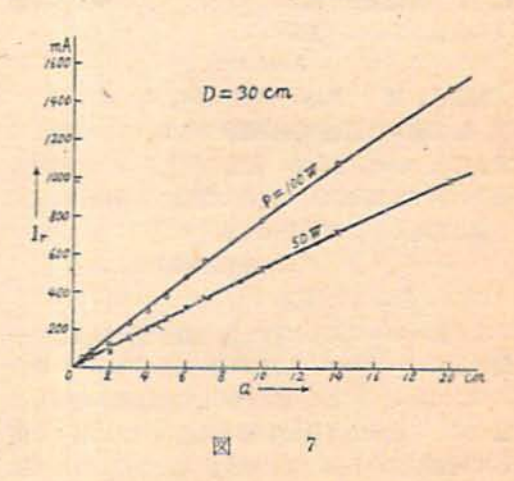
示したもので、図に見る如く綺麗な直線関係が得られ た。この関係は D が零に近づけば、即も受波体を発 振コイル面に持ち来たせば L が無限大になることを 示すが、実際には無限大になり得ないので、どこ迄も 成立すべきものではないが、かなりの範囲迄は成立す るものと仮定して図3に於ける実測範囲以外の曲線部 分は図4のグラフ上から推定して画いた。

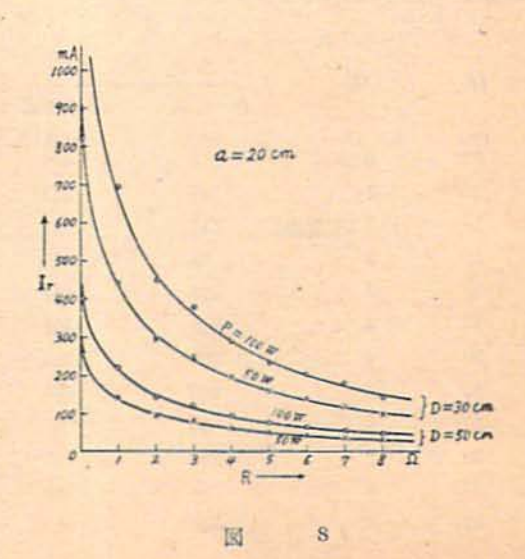
高周波エネルギーの强度は珠面波の場合は距離の自 葉に反比例すると言われているが、誘起電流が距離の n1葉に反比例する、即ち

$$n_1I_r = k_1/D^{n_1}$$

と仮定した場合、 $\log I_r = K_1 - n_1 \log D$

で図4の直線の方向係数を求むれば n_1 の値が得られることになる。図4及び興線の開きが20em 以外の若干の場合について同様にして画いた対数関係の図から,かくして求めた n_1 の値を表1に示した。a及びPの大小によつて n_1 の値は多少異つているが或る規則性が認められ,大路 $1.5\sim2.6$ の範囲におさまつた。





ii) Pと Ir との関係

同様に α =20 cm に於ける実験値から $P \ge I_r \ge 0$ 関係を表わせば図 5 及び図 6 の如くになる。図 6 も前項の場合と同様に対数関係を示し、 $\log P \ge \log I_r \ge$ について直線関係が得られた。そしてこの場合には図 5 の曲線の形状より推測して

$$I_r = k_2 P^{n_2}$$

と仮定すれば $\log I_r = K_2 + n_2 \log P$ で、 n_2 は図6の直線の方向係数であり、これを図上で 求めると n_2 =M となる。脚線の開きが 20 cm 以外の 場合に於ても同様にして求めた直線の方向係数は上記 の値に略等しい。即も全体を通じて

iii) aと Ir との関係

次に種々の α に対して得た測定値及び計算値より一例として $D=30\,\mathrm{cm}$, 入力 $50\,\mathrm{W}$ 及び $100\,\mathrm{W}$ の場合について α と I_r との関係を図示すれば図 7 を得る。図に示した範囲では誘起電流は脚線の開きに略々比例して増加しているが、更に開きが大になるにつれて誘起電流の増加率は次第に減少する。

D	表 R	I_r	
		P-50W	P=100W
em 50	Ω 0.05	mA 270	mA 400
50	1	145	223
50	1.15(電橋)	141	202
50	2	. 96	145
30	2	295	447
30	3	252	382
30	4	200	292
30	5	160	234
30	6	140	205
30	7	120	. 180
30	8 .	-	140
15	8	320	460

iv) 抵抗 R と I_r との関係

以上は電機の位置に電流計以外の抵抗を入れないで 行つた実験の結果であるが、この電流計の抵抗 R は 0.05 Q で通常の電機の抵抗よりも小さいので、次に ここに電流計と共に直列抵抗を抑入して実験を行っ た。

a=20 cm に於けるその結果は表2の如くであるが、 これを夫々総て D=30 cm 及び 50 cm に対応する値 に換算 (例えば D=50 cm, P=50 W で R が 3 Ω の 場合には I_r は $252 \times \frac{96}{295} = 82$ mA) したものを表 3に示し、この値を以て図 8 を画いた。

25 3

	I_r				
R	D=30 em		D=50 cm		
	P=50 W	P=100 W	P=50 W	P=100 W	
Ω 0.05	mA 833	mA 1,230	mA 270	mA 400	
1	447	698	145	223	
2	295	447	96	145	
3	252	382	82	124	
4	200	292	65	. 95	
5	160	234	52	76	
6	140	205	45	67	
7	120	180	39	58	
8	96	140	32	45	

ここに示した電流値も総て同類点に於けるものである。誘起電圧をEとすれば

$$I_r = \sqrt{\frac{E}{R^2 + \left(L_w - \frac{1}{C_w}\right)^2}}$$

で、同調の條件は

$$L_{\omega} = \frac{1}{C_{\omega}}$$

即ち同調時には回路のインビーダンスの交流部分は0となり、 I_r はRに反比例することになる。図8の曲線は略この関係を示している。

IV 総 括

高周波発振裝置に極く近接して電気間管の電橋に誘起されるであるうところの高周波電流を諾種の條件下に測定したのであるが、室内の小規模実験であり発振装置に空中線を用いず、又高周波を受ける脚線の長さも限定した。それにも拘らずかなり強い誘起電流が測定せられ、通常の点火薬が発火する最低電流以上のものが容易に得られた。そして別に実験した結果、既にこの種の問題に関する文献にも述べられている通り直流域は通常の交流での最低発火電流と高周波の最低発火電流と高周波の最低発火電流と高周波の最低発火電流とは略相等しいことが減かめられたので、通常の点火薬に対しては各図に於て 200~300 mA 以上の

誘起電流を示す区域は発火危険区域と見なさなくてはならない。但し前記iv)の項で求めた関係に従つて各々の電流値は電橋の抵抗に応じて補正せられるべきであることは勿論である。この場合にも電橋に於ける発生熱量を I.** Rt と見なせば、電橋の抵抗に反比例して誘起電流が減少するので電橋の抵抗が大なる程高周数によつて発火し難くなると考えられる。

発振装置に空中線を附すならば更に大なる電流が誘 起せられるであろうが條件が頻離になるので以上の如 く簡明に定量的関係を見出すことは困難であろう。又 母線を接続しないで脚線に蓄電器を附し、母線の容量 に相当させて同調させたのであるが、母線の自感応 L は無視しているので、若し実際に母線を附するか或は 脚線を充分に長くして同調させた場合にはより大なる 電流値が得られるべきである。故に発振装置の出力が、 小さくても他の條件の如何によつては電橋に强大な誘 起電流を生じ、電気背管発火の可能性が充分に認めら れる。

本実験を行うに当り高周波発振装置の組立に進力さ れ、実験方法についても種々毎指導を賜つた石山舎人 氏に厚く御礼を申し述べる。

文 献

- 1) Du Pont: Blaster's Handbook 209 (1949).
- R. W. Lawrence: The Explosives Engineer 29, 135 (1951).

Firing of Electric Detonator Through Absorption of Radio-Frequency Energy. No. 1.

Radio-Frequency Current induced from Short Wave.

By Kazumasa Okazaki.

The amount of radio-frequency current induced in the bridge wire of electric detonator from short wave was measured under various conditions in the vicinity of a small transmitter.

Relations between the induced current (I_r) and power of transmitter (P), distance from transmitter (D), form of leg wire and resistance of bridge wire were determined experimentally.

For instance on the assumption that $I_r = k_1/D^{n_1}$ and $I_r = k_2P^{n_2}$, following results were obtained; $n_1 = 1.5 \sim 2.6$ and $n_2 = 3.2$.

From this experiment, it has been confirmed that in the vicinity of a short wave transmitter, although operating at low power such as 10 watts, the common types of electric detonators can be detonated under certain special conditions.